

آفات و بیماری‌های گیاهی
جلد ۷۵، شماره ۲، اسفند ۱۳۸۶

پراکنش و برخی خصوصیات بیولوژیکی و مولکولی جدایه‌های ویروس موzaئیک کلم‌گل از مزارع کلم‌گل ایران

Distribution and some biological and molecular properties of *Cauliflower mosaic virus*
isolates from Iranian cauliflower fields

شیرین فرزادفر^{۱*}، غلامحسین مصاحبی^۱، علی آهونمنش^۲، مینا کوهی حبیبی^۱،
کازوساتو اوشیما^۳، رضا پورحیم^۴ و علیرضا گلنراقی^۵

۱- گروه گیاهپزشکی، دانشکده کشاورزی، دانشگاه تهران

۲- گروه گیاهپزشکی، دانشکده کشاورزی، دانشگاه صنعتی اصفهان

۳- آزمایشگاه ویروس‌شناسی گیاهی، دانشکده کشاورزی، دانشگاه ساگا، ژاپن

۴- بخش تحقیقات ویروس‌های گیاهی، مؤسسه تحقیقات گیاهپزشکی کشور

۵- گروه گیاهپزشکی، دانشگاه آزاد اسلامی، واحد علوم و تحقیقات تهران

(تاریخ دریافت: تیر ۱۳۸۶، تاریخ پذیرش: فروردین ۱۳۸۷)

چکیده

به منظور تعیین پراکنش و مطالعه برخی خصوصیات بیولوژیکی و مولکولی جدایه‌های ایرانی ویروس موzaئیک کلم‌گل (*Cauliflower mosaic virus-CaMV*), از ۳۲ مزرعه کلم‌گل (Brassica oleracea var. botrytis) واقع در ۶ استان کشور بازدید به عمل آمد. نمونه‌برداری در فصول مختلف انجام و مجموعاً ۳۲۳ نمونه برگی کلم‌گل علائم‌دار جمع‌آوری گردید. این نمونه‌ها با روش سرولوژیکی الیزا و به کمک آنتی‌بادی اختصاصی CaMV مورد سنجش قرار گرفتند. نتایج آزمون سرولوژیکی با استفاده از آزمون‌های بیولوژیکی و نیز واکنش زنجیره‌ای پلی‌مراز مورد تأیید قرار گرفت. بر اساس آزمون الیزا، ۲۹۲ نمونه کلم‌گل (۹۰/۴ درصد) به

* Corresponding author: farzadfar2002@yahoo.com

شیرین فرزادر، غلامحسین مصاحبی، علی آهونمنش، مینا کوهی حبیبی، کازوساتو اوشیما، رضا پوررحم و علیرضا گلنراحتی

آلوده بودند. میزان آلودگی در مزارع نمونه برداری شده بین ۶۳/۶ تا ۱۰۰ درصد متفاوت بود. خصوصیات بیولوژیکی ۲۱ جدایه از مناطق مختلف و با شدت علائم متفاوت، بر اساس بیماریزایی آنها روی شلغم (*Brassica rapa*), داتوره (*Datura stramonium*) و کلم قمری (*Brassica oleracea var. gongylodes*) مورد مطالعه قرار گرفت. این جدایه‌ها روی شلغم علائم متفاوتی شامل لکه‌های موضعی و پس از آن رگ‌روشنی، موزائیک، رگ‌نواری، چین‌خوردگی و بازماندن از رشد ایجاد نمودند. شدت علائم سیستمیک ایجاد شده بسته به جدایه مورد بررسی متفاوت بود. برخلاف شلغم، علائم ایجاد شده در کلم قمری محدود به برگ‌های پایینی و مایه‌زنی شده بود و شدت علائم نیز در مقایسه با شلغم بسیار خفیفتر بود. تمامی گیاهان کلم قمری مایه‌زنی شده با جدایه‌های مورد نظر حالت بهبودی نشان داده و علائم در برگ‌های بالای مشاهده نشد. یازده جدایه در گیاه داتوره نیز لکه‌های موضعی ایجاد نموده و دو جدایه علاوه بر ایجاد لکه موضعی، این میزان را بصورت سیستمیک آلودگی نمودند. همه ۲۱ جدایه CaMV با شته سبز هلو (*Myzus persicae*) منتقل گردیدند. برای تجزیه مولکولی و رسم درخت تبارزایی، ژن شماره شش (ORFVI) مربوط به نه جدایه با استفاده از آغازگرهای اختصاصی، تکثیر و تعیین ترادف گردید. نتایج بدست آمده، نشان‌دهنده یکنواختی بالای این ناحیه ۹۶/۹ تا ۱۰۰ درصد) در بین جدایه‌های ایرانی بود. مقایسه این ترادف‌ها با ترادف‌های موجود در بانک ژن نشان داد که این جدایه‌ها دارای بیشترین یکنواختی (۹۶/۱) با جدایه D/H (از مجارستان) می‌باشند. بر اساس تجزیه تبارزایی، جدایه‌های ایرانی مورد مطالعه در گروه جدایه‌های غیر آمریکای شمالی و در یک شاخه جداگانه قرار گرفتند. همچنین با استفاده از آنزیم برشی *Hpy99I*، جدایه‌های ایرانی مورد مطالعه از سایر جدایه‌های خارجی، کاملاً تفکیک شدند.

واژه‌های کلیدی: ویروس موزائیک کلم‌گل، ژن شماره ۶ ویروس موزائیک کلم‌گل، ترادف

مقدمه

تاکنون ویروس‌های متعددی از گیاهان تیره کلم گزارش شده‌اند که از آن جمله می‌توان به ویروس موزائیک شلغم (*Turnip mosaic virus-TuMV-Potyvirus*)، ویروس موزائیک کلم‌گل

پرائشن و برخی خصوصیات بیولوژیکی و مولکولی جدایه‌های ویروس موزائیک کلم‌گل از مزارع کلم‌گل ایران

Turnip crinkle virus-)، ویروس چروکیدگی شلغم (*Cauliflower mosaic virus-Caulimovirus*) (*Turnip rosette virus-TuRV-Sobemovirus*) (*TuCV-Carmovirus* ویروس موزائیک زرد شلغم (*Turnip yellow mosaic virus-TuYMV-Tymovirus*)، ویروس زردی *Radish mosaic virus-*) و ویروس موزائیک تریجه (*Turnip yellows virus-TuYV-TYV*) شلغم (*RaMV-Comovirus*) اشاره نمود. ویروس موزائیک کلم‌گل یکی از مهم‌ترین عوامل خسارتزا و کاهش عملکرد در این محصولات بوده و در هر کجا که این نوع گیاهان کشت می‌شوند، یافت می‌گردد. گیاهان آلوده از رشد کمی برخوردارند و میزان گل‌دهی و تولید بذر در آنها به طور قابل توجهی کاهش می‌یابد. کاهش میزان محصول بویژه در ارقام مختلف کلم‌گل بین ۲۰ تا ۵۰ درصد گزارش شده است (Sutic *et al.*, 1999; Shepherd, 1981). ویروس موزائیک کلم‌گل عضو تیپ جنس *Caulimoviridae* از خانواده *Caulimovirus* می‌باشد (Haas *et al.*, 2002). پیکره‌های این ویروس چند وجهی (ایزومنتیریک)، با قطر ۵۰ نانومتر بوده و از ۴۲۰ زیر واحد پروتئین پوششی تشکیل شده است. ژنوم CaMV از نوع دی.ان.ای دولایی حلقوی به اندازه ۸ کیلو جفت‌باز است که از شش چارچوب ژنی (open reading frame-ORF) تشکیل شده است (reverse transcription) (Haas *et al.*, 2002). تکثیر آن با استفاده از نسخه‌برداری برگردان (reverse transcription) از روی یک آر.ان.ای حداوسط (RNA intermediate) انجام می‌گیرد (Haas *et al.*, 2002; (Mason *et al.*, 1987).

در گیاهان تیره کلم آلوده به CaMV، دامنه متفاوتی از علائم مانند سبزه‌ردی (chlorosis)، موزائیک (mosaic)، رگ‌روشنی (vein clearing)، بدشکلی برگ (leaf deformation) و بازماندن از رشد (stunting) ایجاد می‌گردد (Shepherd, 1981). کلیه جدایه‌های این ویروس قادر به ایجاد آلوگی در گیاهان تیره کلم هستند، ولی برخی از جدایه‌ها مانند D4 و W260 می‌توانند تعدادی از گونه‌های متعلق به جنس *Nicotiana* و *Datura* از تیره سیب‌زمینی را نیز آلوده نمایند (Qiu *et al.*, 1997; Qiu & Schoelz, 1992; Anderson *et al.*, 1991; Daubert & Routh, 1990;) (Daubert *et al.*, 1984). در طبیعت چندین شته از جمله شته سبز هلو (*Myzus persicae* Sulzer) به عنوان ناقل فعال برای CaMV شناخته شده‌اند (Palacios *et al.*, 2002; Kennedy *et al.*, 1962) (non-persistent manner) و با استفاده از استراتژی کمکی این ناقلين ویروس را بروش ناپایا

شیرین فرزادفر، غلامحسین مصاحبی، علی آهونمنش، مینا کوهی حبیبی، کازوساتو اوشیما، رضا پوررحیم و علیرضا گلنراحتی

(helper strategy) متنقل می‌کنند (Gray & Banerjee, 1999; Pirone & Blanc, 1996). بررسی‌های انجام گرفته نشان داده است که محصول ژن شماره دو (P2) برای انتقال ویروس لازم می‌باشد (Blanc *et al.*, 2001; Al-Kaff *et al.*, 1997; Al-Kaff & Covey, 1994). البته برخی از جدایه‌های CaMV با شته متنقل نمی‌شوند (Lung & Pirone, 1973). عدم انتقال با شته در جدایه‌های CM1841 و Campbell به دلیل جهش در نوکلئوتیدهای ۹۴ و ۱۰۵ بوده که به ترتیب موجب تغییر اسیدآمینه گلایسین به آرژنین و ایزولوسین به والین می‌گردد (Al-Kaff & Covey, 1994; Al-Kaff *et al.*, 1997). تا کنون گزارشی از انتقال این ویروس با بذر یا دانه گرده ارائه نشده است (Blanc *et al.*, 2001). جدایه‌های CaMV بر اساس واکنش روی گیاهان محک مختلف از جمله شلغم، کلم‌قمری و برخی از گونه‌های متعلق به جنس *Nicotiana* و *Datura* از تیره سیب‌زمینی (Al-Kaff & Covey, 1995; Schoelz *et al.*, 1986; Lung & Pirone, 1972) و نیز بر اساس ترادف نوکلئوتیدی ژن شماره ۶ (ORF VI) گروه‌بندی شده‌اند. این ژن در مقایسه با دیگر ژن‌های این ویروس، بیشترین تنوع (variation) را نشان داده (Chenault & Melcher, 1994b) و به همین دلیل برای مقایسه جدایه‌های CaMV مورد استفاده قرار گرفته است (Pique *et al.*, 1995; Chenault & Melcher, 1994a; Sanger *et al.*, 1991). در سال‌های اخیر، سطح زیر کشت محصولات تیره کلم بخصوص کلم‌گل در ایران افزایش یافته است، به‌طوری که سطح زیر کشت این محصول از ۸۰۰ هکتار با تولید ۲۰ هزار تن در سال ۲۰۰۰، به ۱۰۰۰ هکتار با تولید ۲۵ هزار تن در سال ۲۰۰۳ رسیده است (Anonymous, 2000, 2003). آلدگی کلم‌گل با CaMV قبل از ایران گزارش شده است (Farzadfar *et al.*, 2005)، ولی تا کنون در خصوص پراکنش، خصوصیات بیولوژیکی و مولکولی جدایه‌های ایرانی این ویروس از کلم‌گل مطالعه‌ای انجام نگرفته است. در این تحقیق علاوه بر تعیین پراکنش CaMV در مزارع کلم‌گل، خصوصیات بیولوژیکی ۲۱ جدایه بر اساس بیماریزایی روی شلغم (*Brassica rapa*), داتوره (*Datura stramonium*) و کلم‌قمری (*Brassica oleracea var. gongylodes*) و نیز قابلیت انتقال آنها با شته مورد مطالعه قرار گرفت. جهت بررسی خصوصیات مولکولی، ژن شماره شش (ORF VI) مربوط به نه جدایه با استفاده از واکنش زنجیره‌ای پلی‌مراز (polymerase chain reaction, PCR) تعیین ترادف شدند. این نتایج که تکثیر و پس از همسانه‌سازی در باکتری *Escherichia coli* تعیین ترادف شدند. این نتایج که

پراکنش و برخی خصوصیات بیولوژیکی و مولکولی جدایه‌های ویروس موزائیک کلم‌گل از مزارع کلم‌گل ایران

برای اولین بار در مورد جدایه‌های ایرانی CaMV بدست آمده است، با اطلاعات موجود در مورد سایر جدایه‌ها مقایسه گردید.

روش بررسی

نمونه‌برداری و آزمون الایزا: در مجموع، ۳۲۳ نمونه برگی از گیاهان کلم‌گل، با علائم موزائیک (mosaic)، پیسک (mottling)، نکروز (necrosis)، چین‌خوردگی (rugosity)، بازماندن از رشد (stunting)، بدشکلی برگ (leaf deformation) و رگ‌نواری (vein banding) از ۳۲ مزرعه واقع در استان‌های آذربایجان غربی، اصفهان، فارس، خراسان، تهران و قزوین جمع‌آوری گردیدند (جدول ۱). در غالب موارد زمان نمونه‌برداری به نحوی تنظیم گردید که گیاهان رویشی در مزرعه در اواسط سن خود در فصل رویشی باشند. این نمونه‌ها پس از شماره‌گذاری، در کیسه‌های پلاستیکی جداگانه قرار داده شده و تا انجام آزمون‌های بعدی، در شرایط چهار درجه سانتی‌گراد نگه‌داری شد. آزمون الایزا با استفاده از آنتی‌بادی اختصاصی تهیه شده علیه CaMV (Loewe, Germany) و روش توصیف شده توسط Clark و Adams (۱۹۷۷) انجام گرفت. میزان جذب نور هر چاهک در طول موج ۴۰۵ نانومتر با استفاده از دستگاه (Multiscan-334, Lab system, Finland) microplate reader اندازه‌گیری گردید. نمونه‌هایی که میزان جذب چاهک مربوطه مساوی یا بیش از سه برابر میانگین جذب چاهک شاهد منفی (سالم) بود، به عنوان نمونه آلوده (مثبت) ارزیابی شدند.

مطالعه دامنه میزبانی: برای مطالعه تنوع بیولوژیکی، ۲۱ جدایه CaMV از کلم‌گل، با شدت علائم متفاوت و از مناطق مختلف، انتخاب شدند (جدول ۲). آلودگی این نمونه‌ها قبلًا با استفاده از روش الایزا تأیید شده بود. نمونه‌های مورد نظر در بافر فسفات ۱/۰ مولار، حاوی ۰/۰۲ درصد ۲-مرکاپتوتانول عصاره‌گیری شده و خالص‌سازی بیولوژیکی آن‌ها، طی سه بار مایه‌زنی تک لکه (single lesion) روی شلغم (*Brassica rapa*) انجام گرفت. این جدایه‌ها در گیاه تریچه (*Raphanus sativus*) تکثیر شدند. برای ارزیابی جدایه‌ها، ۶-۴ بوته از گیاه شلغم، کلم قمری (*Datura stramonium*) و داتوره (*Brassica oleracea var. gongylodes*) با هر یک مایه‌زنی

شیرین فرزادفر، غلامحسین مصاحبی، علی آهونمنش، مینا کوهی حبیبی، کازوساتو اوشیما، رضا پوررحیم و علیرضا گلنراحتی

شدند (Al-Kaff & Covey, 1995; Lung & Pirone, 1972; Schoelz *et al.*, 1986). گیاهان در مرحله چهار تا شش برگی مایه‌زنی شده و در شرایط گلخانه‌ای تا سه ماه نگهداری شده و مورد بررسی قرار گرفتند. آلدگی بوته‌های مورد نظر بر اساس علائم ایجاد شده و نیز با استفاده از آزمون الیزا مورد تأیید قرار گرفت.

انتقال با شته: در مجموع، نه جدایه بر اساس نوع و شدت علائم مزروعه‌ای و نیز واکنش روی سه میزبان شلغم، کلم قمری و داتوره انتخاب شده (جدول ۲ و ۳) و قابلیت آن‌ها در انتقال با شته مورد بررسی قرار گرفت. در این آزمون، از شته سبز هلو (*M. persicae*) و روش توصیفی (Fereres *et al.*, 1993) استفاده گردید. شته‌های سالم که به مدت یک ساعت گرسنگی داده شده بودند، به مدت ۱۰ دقیقه از بوته‌های شلغم آلوده به CaMV که سه هفته از مایه‌زنی آن‌ها گذشته بود، تغذیه نمودند. سپس این شته‌ها به بوته‌های جوان شلغم سالم انتقال داده شده و پس از ۲۴ ساعت تغذیه، با استفاده از سم کنفیدور (Bayer, Germany) از بین برده شدند. برای هر گیاه از پنج تا هفت شته و برای هر جدایه، حداقل ۱۰ بوته شلغم مورد آزمون قرار گرفت. به منظور اثبات آلدگی CaMV در بوته‌های شلغم مایه‌زنی شده با شته، از آزمون الیزا و PCR استفاده گردید.

استخراج اسید نوکلئیک کل گیاه: به منظور تکثیر ORF II و ORF VI مربوط به هر یک از جدایه‌های انتخاب شده در مرحله قبل (جدول ۲)، ابتدا این جدایه‌ها در گیاه شلغم تکثیر و سپس اسید نوکلئیک کل آن‌ها (total nucleic acid) استخراج گردید. برای این منظور، حدود سه هفته پس از مایه‌زنی هر یک از جدایه‌ها، یک گرم برگ از بوته‌های آلوده شلغم علائم‌دار جمع‌آوری و در یک میلی لیتر از بافر تریس (250 mM NaCl, 0.25% SDS, 30 mM EDTA, and 200 mM Tris, pH 8) عصاره‌گیری شد. به هر میلی لیتر از عصاره بدهست آمده، ۱۰ میکرولیتر پروتئیناز K (10 mg/ml) اضافه گردید و سپس به مدت یک ساعت در ۶۰ درجه سانتی‌گراد قرار داده شد. عصاره مورد نظر با یک حجم آب مقطر استریل، رقیق شده و پس از ده دقیقه قرار گرفتن در ۹۵ درجه سانتی‌گراد، بالافاصله به روی یخ منتقل و سپس به مدت پنج دقیقه در ۱۳۰۰۰ g سانتریفوژ گردید. از رونشین (supernatant) بدست آمده برای انجام آزمون PCR استفاده شد (Agama *et al.*, 2002). همین مراحل برای نمونه شاهد (شلغم سالم) نیز انجام

پرائشن و برخی خصوصیات بیولوژیکی و مولکولی جدایه‌های ویروس موزائیک کلم‌گل از مزارع کلم‌گل ایران

گردید.

واکنش زنجیره‌ای پلی‌مراز: واکنش زنجیره‌ای پلی‌مراز (PCR) در حجم ۵۰ میکرولیتر شامل ده میکرولیتر نوکلئیک اسید استخراجی از گیاه، یک میکرولیتر از هر یک از آغازگرهای بالادست و پایین‌دست (μl / pmol, ۲۰)، پنج میکرولیتر از $\text{X} \times \text{MgCl}_2$ بافر تریس (۲۰۰ mM Tris-HCl, ۵۰۰ mM KCl, pH 8.4)، ۱/۵ میکرولیتر MgCl_2 (۵۰ mM)، یک میکرولیتر محلول dNTP (۱۰ mM) و یک میکرولیتر از آنزیم CM42F (۵' -TCGCTGCAACGGCTTCTAAG-3') CM42R (5'-GGAAACAGTGCTTCATCCTC-3') به منظور تکثیر قطعه‌ای به اندازه ۷۲۴ جفت‌باز، مربوط به چارچوب ژنی شماره ۲ (ORF II) استفاده شد (Agama et al., 2002). برنامه PCR مورد استفاده شامل پنج چرخه تکثیر اولیه با برنامه 95°C ، ۳۰ ثانیه، $35, 40^{\circ}\text{C}$ ثانیه و 72°C ۴۰ ثانیه و به دنبال آن ۳۵ چرخه با برنامه 94°C ، ۳۵ ثانیه، 45°C ، ۳۰ ثانیه و 72°C ۴۰ ثانیه بود. همچنین برای تکثیر ژن شماره ۶ (ORF VI)، از دو آغازگر CaMV6F (5'-ACCGTCGACATGGAGAACATAGAAAAA-3) و CaMV6R (5'-ACCGTCGACTCAATCCACTTGCTTGAA-3) استفاده گردید. این آغازگرهای قطعه‌ای به طول ۱۵۸۰ جفت باز مربوط به ناحیه ORF VI را تکثیر می‌نمایند. برنامه مورد استفاده با این جفت آغازگر شامل 94°C ، ۲ دقیقه و ۳۰ چرخه شامل 94°C ، ۳۰ ثانیه، 45°C ، ۱/۵ دقیقه، 72°C ، یک دقیقه و در پایان ۱۰ دقیقه در 72°C بود. واکنش زنجیره‌ای پلی‌مراز به کمک دستگاه Lambda DNA/EcoRI+HindIII Marker, 3, (Fermentas, Lithuania) در ژل آگاروز یک درصد حاوی $1\text{ }\mu\text{g/ml}$ اتیدیوم بروماید در ۱۰۰ ولت ثابت به مدت ۳۰ دقیقه الکتروفورز شده (Sambrook et al., 1989) و ژل در نور ماوراء بنفش با استفاده از دستگاه UV-illumination (Imago, The Netherlands) مورد ارزیابی و عکسبرداری قرار گرفت. آغازگرهای مورد استفاده در این آزمون، توسط شرکت MWG Biotech. (آلمان) ساخته شدند.

همسانه‌سازی و تعیین ترادف: در مورد هر یک از نه جدایه مورد بررسی (جدول ۴)،

شیرین فرزادفر، غلامحسین مصاحبی، علی آهونمنش، مینا کوهی حبیبی، کازوساتو اوشیما، رضا پوررحم و علیرضا گلنراحتی

قطعه دی.ان.ای مربوط به ORF VI بدست آمده طی واکنش زنجیره‌ای پلی‌مراز، با استفاده از کیت Macherey-Nagel, Germany) Nucleospin (و طبق روش توصیه شده توسط سازنده کیت، از سایر اجزای واکنش PCR جدا شد. قطعه مورد نظر با استفاده از کیت pGEM-T Easy vector (insertion) (Promega Corp, USA) به پلاسمید pGEMT مطابق با دستورالعمل ارائه شده، الحق (Sambrook et al., 1989) گردید. محصول واکنش لیگاسیون به روش کلرید کلسیم و شوک حرارتی (درجه سانتی‌گراد به مدت ۲ دقیقه) به سلول‌های *Escherichia coli* DH5α پذیرنده دی.ان.ای منتقل شد (Sambrook et al., 1989). پس از کشت سلول‌های باکتری تاریخت (competent) در محیط کشت LB حاوی آمپیسیلین (۱۰۰ میکروگرم در میلی‌لیتر)، کلندی‌های سفید مقاوم به آمپیسیلین انتخاب و دی.ان.ای پلاسمیدی بروش هضم قلیایی (Sambrook et al., 1989) از ۱/۵ میلی‌لیتر محیط کشت سلول‌های (کشت ۱۲ ساعته) تاریخت، استخراج گردید. به منظور اطمینان از وجود قطعه الحقی در پلاسمیدهای استخراجی، پلاسمیدها با آنزیم برشی EcoRI (سیناژن) به مدت ۲ ساعت در ۳۷ درجه سانتی‌گراد تیمار شده و سپس محصول هضم آنزیمی در ژل آگاروز یک درصد الکتروفورز شد. از هر جدایه، سه پلاسمید نوترکیب انتخاب و برای تعیین ترادف به شرکت MWG Biotech در آلمان ارسال گردید. ترادف‌های تعیین شده در مورد جدایه‌های ایرانی با استفاده از ابزار جستجوی Basic) BLAST NCBI (Altschul et al., 1997) (Local Alignment Search Tool با یکدیگر و با ترادف‌های ثبت شده در National Center for Biotechnology Information (GenBank) مقایسه شدند. هم ردیف‌سازی چندگانه (multiple sequence alignment) با برنامه MegAlign از ClustalW (Thompson et al., 1994) و با استفاده از نسخه شماره ۵ برنامه MegAlign از بسته نرم‌افزاری DNASTAR (DNA STAR, Madison, WI, USA) DNASTAR (Burland, 2000) انجام گردید. سپس به کمک نرم افزار TreeView version 1.5.2) درخت تبارزایی رسم شد. در این مطالعه، از Horseradish latent virus-HRLV-Caulimovirus (outgroup) استفاده گردید. همچنین جهت تعیین آنزیم یا آنزیمهای برشی (restriction enzyme) احتمالی برای تفکیک جدایه‌های ایرانی از سایر جدایه‌های CaMV (جداول ۳ و ۴) از نسخه شماره ۵ برنامه Mapdraw (DNASTAR, Burland, 2000) استفاده گردید.

پراکنش و برخی خصوصیات بیولوژیکی و مولکولی جدایه‌های ویروس موزائیک کلم‌گل از مزارع کلم‌گل ایران

نتیجه و بحث

نمونه‌برداری و آزمون الایزا: نتایج بدست آمده از نمونه‌برداری در جدول شماره یک آمده است. این ویروس در تمامی ۳۲ مزرعه کلم‌گل مورد نمونه‌برداری، ردیابی گردید. از میان ۳۲۳ نمونه علامتمدار، ۲۹۲ نمونه (۹۰/۴ درصد) با آنتی‌بادی اختصاصی تهیه شده علیه CaMV واکنش مثبت نشان دادند. ولی میزان وقوع این ویروس در مناطق مختلف و نیز در مزارع واقع در این مناطق با یکدیگر متفاوت بود (جدول ۱).

مطالعه دامنه میزبانی: تنوع بیولوژیکی جدایه‌های ایرانی جمع‌آوری شده از جمعیت‌های طبیعی CaMV، با استفاده از علائم مشخصه و تمایز کننده این ویروس روی دو میزبان شلغum (B. oleracea var. gongylodes) و کلم قمری (B. rapa) مورد بررسی قرار گرفت. همچنین برای تعیین جدایه‌های آلوده کننده گیاهان تیره سیب‌زمینی، از گیاه محک D. stramonium استفاده شد. علائم ایجاد شده روی دو میزبان شلغum (جدول ۲) و کلم قمری (جدول ۳) مطابق با روش ارائه شده توسط Covey و Al-Kaff (۱۹۹۵) ارزیابی شدند. در مورد هر جدایه، علائم حاصله از مایه‌زنی آن در تکرارهای مختلف از هر گیاه محک یکسان بود. تمامی ۲۱ جدایه مورد بررسی، گیاه شلغum را آلوده نمودند. در گیاهان شلغum مایه‌زنی شده، ابتدا علائم لکه موضعی سبزد ایجاد گردید. جدایه‌های مختلف از نظر قطر لکه‌های موضعی ایجاد شده، تفاوت نشان دادند. در شش جدایه Ca-Az22، Ca-CE1، Ca-CT4، Ca-Az20، Ca-CVa5 و Ca-V98 لکه‌های موضعی ریز و مشخص با قطر ۱-۲ میلی‌متر و در بقیه جدایه‌ها، لکه‌های درشت و مشخص با قطر ۳ تا ۴ میلی‌متر تولید گردید (شکل ۱A و ۱B). هیچ یک از جدایه‌ها روی این میزبان لکه‌های بزرگ و پخش شده (diffuse) تولید نکردند. از نظر زمان ظهور لکه‌های موضعی، جدایه‌ها در دو گروه (۷ تا ۱۰ روز و ۱۰ تا ۱۵ روز پس از مایه‌زنی) قرار گرفتند. متعاقباً علائم سیستمیک در برگ‌های جوان به ترتیب ۱۰ تا ۱۵ روز و ۱۵ تا ۲۰ روز پس از مایه‌زنی و با ایجاد رگ‌روشنی آغاز گردید. علائم رگ‌روشنی تولید شده در این جدایه‌ها متنوع و به سه گروه شامل مشخص (distinct) (شکل ۱C)، خفیف (mild) (شکل ۱D) و خیلی خفیف (very mild) تقسیم گردید. بر این اساس، اکثر جدایه‌های CaMV مورد مطالعه (۱۲ جدایه) در گروه یک، هفت جدایه در گروه دو و جدایه‌های Ca-CAz26 و Ca-CAz20 در گروه سه قرار

شیرین فرزادفر، غلامحسین مصاحبی، علی آهونمنش، مینا کوهی حبیبی، کازوساتو اوشیما، رضا پوررحیم و علیرضا گلنراحتی

گرفتند. توسعه بعدی علائم با ایجاد رگنواری، موزائیک، چروکیدگی و بازماندن از رشد همراه بود. همان طور که در جدول شماره ۲ نشان داده شده است، بیشتر جدایه‌های CaMV از نظر نوع علائم رگنواری ایجاد شده در شلغum، در یک گروه قرار گرفته و تولید علائم رگنواری بهن (wide) نمودند (شکل ۱E). در شش جدایه، شدت علائم رگنواری متوسط (normal) (شکل ۱F) و در سه جدایه (Ca-CMol، Ca-CAz22 و Ca-CKh64) این علائم در مقایسه با دیگر جدایه‌ها خفیفتر (fine) (شکل ۱G) بود. علاوه بر علائم برگی، بوته‌های شلغum آلوده با CaMV در مقایسه با گیاه سالم از رشد کمتری برخوردار بودند. در هیچ یک از جدایه‌ها علائم بازماندن از رشد، از نوع خیلی شدید (very severe) نبود. این علائم از حالت شدید تا خفیف و در یک مورد (جدایه Ca-CKh64) خیلی خفیف، متفاوت بود. شدت چین خوردگی (rugosity) و چروکیدگی برگ‌ها نیز از دیگر علائمی بود که در بوته‌های آلوده مشاهده و مورد مقایسه قرار گرفت. میزان بدشکلی و چین خوردگی در جدایه‌ها بیشتر از نوع چین خوردگی و نیز حالت تخت (flat) بود. حالت چین خوردگی و کاهش شدید رگبرگ‌ها (wrinkling) در هیچ‌کدام از جدایه‌های CaMV مورد مطالعه دیده نشد. علائم ایجاد شده در دو میزان کلم‌قمری و داتوره نیز برای این ۲۱ جدایه ارزیابی گردید (جدول ۳). فقط برخی از جدایه‌های مورد بررسی، دو میزان کلم‌قمری و داتوره را آلوده نمودند. در این گیاهان نیز ابتدا لکه‌های موضعی ایجاد گردید. لکه‌های موضعی ایجاد شده در کلم‌قمری از نوع سبز رد، بزرگ و پخش شده (diffuse) (شکل ۱H) و در داتوره، نکروزه، بزرگ و مشخص (شکل ۱L) بود. جدایه‌های Ca-CKh64، Ca-CK52، Ca-CV98، Ca-CK75 و Ca-CVa5 بدون ایجاد علائم لکه موضعی، علائم سیستمیک رگ‌روشنی (شکل ۱I) و رگنواری (شکل ۱J) را در کلم‌قمری ایجاد نمودند، ولی شدت این علائم در مقایسه با شلغum خفیفتر بود. همچنین علائم سیستمیک فقط به برگ‌های مایه‌زنی شده محدود بوده و توسعه بعدی آن‌ها در برگ‌های بالایی مشاهده نگردید. از میان ۱۲ جدایه‌ای که در داتوره لکه موضعی ایجاد نمودند، تنها دو جدایه (Ca-CQ50 و Ca-CK52) این میزان را به صورت سیستمیک آلوده نمودند (شکل ۱K).

انتقال با شته: تمامی ۲۱ جدایه مورد بررسی، توسط شته *M. persicae* به شلغum منتقل شدند. حدود دو هفته پس از تغذیه شته‌های آلوده، در بوته‌های شلغum علائم رگ‌روشنی،

پراکنش و برخی خصوصیات بیولوژیکی و مولکولی جدایه‌های ویروس موزائیک کلم‌گل از مزارع کلم‌گل ایران

موزائیک و بدشکلی در برگ‌ها ظاهر گردید. آلدگی بوته‌های شلغم با آزمون الیزا و PCR مورد تأیید قرار گرفت.

واکنش زنجیره‌ای پلی‌مراز، تعیین ترادف و آنالیز ترادف‌های بدست آمده: در آزمون PCR و با استفاده از آغازگرهای اختصاصی ORF II و ORF VI، به ترتیب قطعات ۷۷۴ و ۱۵۸۰ جفت‌بازی تولید گردید (شکل ۲). اندازه این قطعات در همه جدایه‌های مورد بررسی مشابه بود. همچنین در آزمون مربوط به بافت سالم هیچ باندی تشکیل نگردید. ترادف‌های ORF VI مربوط به نه جدایه ایرانی CaMV، تحت شماره‌های DQ870907، DQ119041، DQ119040، EF503597 و DQ870912، DQ870914، DQ870915، DQ870910 در بانک ژن ثبت گردید (جدول ۴). جستجو با استفاده از ابزار BLAST نیز تأیید نمود که این ترادف‌ها با ORF VI ویروس موزائیک کلم‌گل مطابقت دارند. همچنین هم‌ردیف‌سازی چندگانه این ژن در برنامه CLUSTAL W نشان داد که جدایه‌های مورد مطالعه، دارای ۹۶/۹ تا ۱۰۰ درصد یکنواختی (identity) می‌باشند. مقایسه ترادف نوکلئوتیدی ORF VI جدایه‌های ایرانی با ترادف‌های گزارش شده در مورد سایر جدایه‌ها، نشان داد که جدایه‌های ایرانی دارای بیشترین مشابهت با جدایه D/H از مجارستان (۹۶/۱-۹۶/۷ درصد) و کمترین مشابهت با جدایه XinJing از چین (۸۴/۴-۸۳/۷ درصد) می‌باشند.

در دندروگرام حاصل از مطالعات تبارزایی بر اساس ORF VI، تمامی جدایه‌های ایرانی در یک شاخه قرار گرفتند. همچنین جدایه‌های متعلق به آمریکای شمالی (North-American) و جدایه B29 از فرانسه، یک شاخه جداگانه تشکیل دادند. در این درخت تبارزایی، جدایه‌های Cabbage S به همراه W260، S-Japan، Bari 1 و XinJing نیز هر یک در شاخه جداگانه‌ای قرار گرفتند (شکل ۳). میزان مشابهت جدایه‌های ایرانی در سطح آمینواسید بین ۹۶/۱ تا ۱۰۰ درصد بدست آمد. بر اساس نتایج حاصله از مقایسه ترادف آمینواسیدی استنتاجی محصول ORF VI جدایه‌های ایرانی به ترتیب دارای بیشترین و کمترین مشابهت با جدایه D/H (۹۴/۵-۹۵/۹ درصد) و XinJing (۸۲/۳-۸۱/۳ درصد) بودند.

بررسی چندشکلی طولی با آنزیم‌های برشی (RFLP) آزمایشی ترادف نوکلئوتیدی ORF VI در جدایه‌های ایرانی و غیر ایرانی با استفاده از برنامه Mapdraw نشان داد که آنزیم برشی

شیرین فرزادفر، غلامحسین مصاحبی، علی آهونمنش، مینا کوهی حبیبی، کازوساتو اوشیما، رضا پوررحم و علیرضا گلنراحتی

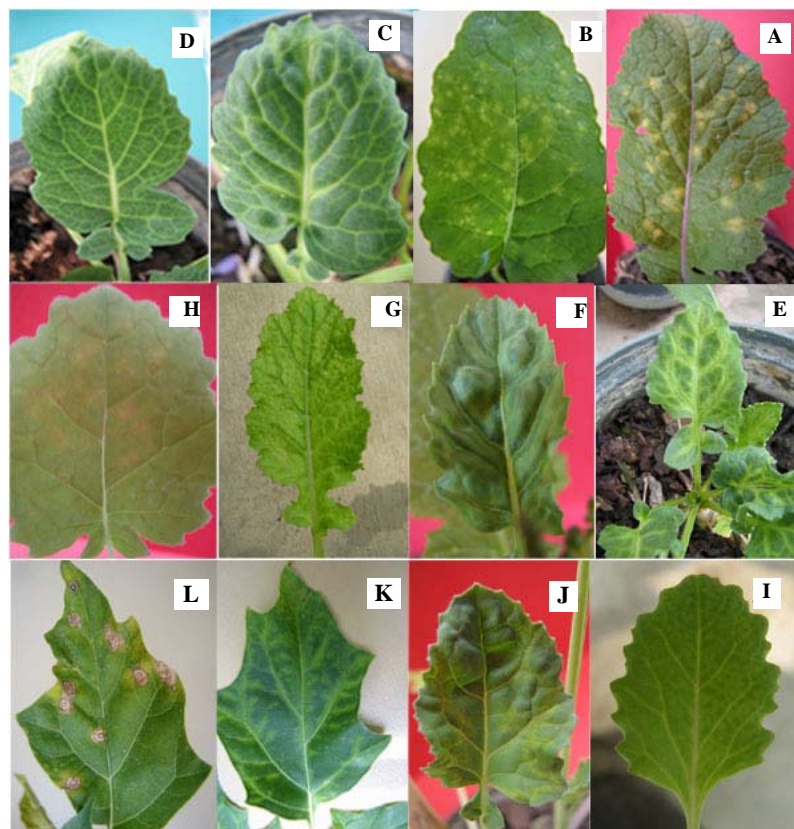
(Biolab, England) *Hpy99I* می‌تواند برای تفکیک جدایه‌های ایرانی از سایر جدایه‌ها مورد استفاده قرار گیرد. در نقشه حاصل از هضم آنزیمی ORF VI جدایه‌های مختلف CaMV توسط *Hpy99I* از صفر تا ۳ جایگاه برشی شناسایی گردید. بر این اساس، جدایه‌های مطالعه شده به هشت گروه تقسیم شدند. تمامی نه جدایه ایرانی مورد بررسی، دارای سه جایگاه برشی با *Hpy99I* در موقعیت‌های نوکلئوتیدی ۴۰۸، ۷۷۱ و ۱۴۵۸ بوده و در گروه VIII قرار گرفتند. اکثر جدایه‌های آمریکای شمالی همراه با B29 در گروه I و جدایه‌های Cabbage, Cabb B-JI, Bari ۱, S, D/H و XinJing به ترتیب در گروه‌های II تا VII قرار گرفتند (جدول ۵). هر نه جدایه ایرانی مورد بررسی پس از تیمار با آنزیم *Hpy99I*, قطعاتی با وزن مولکولی مورد انتظار تولید نمودند (شکل ۴).

در این تحقیق، پراکنش CaMV در مزارع کلم گل شش استان مورد بررسی قرار گرفت. از میان ۳۲۳ نمونه جمع‌آوری شده از ۳۲ مزرعه، ۲۹۲ نمونه (۹۰/۴ درصد) با آنتی‌بادی اختصاصی CaMV واکنش مثبت نشان دادند. نتایج بدست آمده از آزمون الیزا نشان دهنده گسترش این ویروس در مزارع کلم گل بود. ویروس CaMV در تمامی مزارع بازدید شده ردیابی گردید. با این حال وقوع آلودگی در مزارع مختلف (بین ۶۳/۶ تا ۱۰۰ درصد) تفاوت زیادی داشت (جدول ۱). این اختلاف می‌تواند ناشی از زمان نمونه‌برداری و نیز عوامل اکولوژیکی متعددی مانند حضور و فراوانی منابع نگهدارنده ویروس باشد. معمولاً در کشور، گیاهان تیره کلم طی دو فصل بهار و پاییز کشت و به ترتیب در تابستان و زمستان برداشت می‌شوند. به این ترتیب منابع آلودگی طی فصول مختلف سال حفظ شده و به گسترش بعدی این ویروس کمک می‌کنند. از سوی دیگر، این گیاهان دو ساله بوده و کشاورزان به منظور تهیه بذر، از برداشت آن‌ها خودداری می‌کنند. چنانچه این گیاهان بذری، آلوده به ویروس باشند، منع خوبی برای حفظ ویروس و نیز ناقلین آن محسوب می‌شوند. از دیگر عوامل می‌توان به شرایط محیطی، تناوب زراعی و دیگر فعالیت‌های زارعی، شته‌های ناقل و جهت باد که میزان جابجایی و انتقال شته‌ها را تحت تأثیر قرار می‌دهد، اشاره نمود.

پرائشن و برخی خصوصیات بیولوژیکی و مولکولی جدایه‌های ویروس موزائیک کلم‌گل از مزارع کلم‌گل ایران

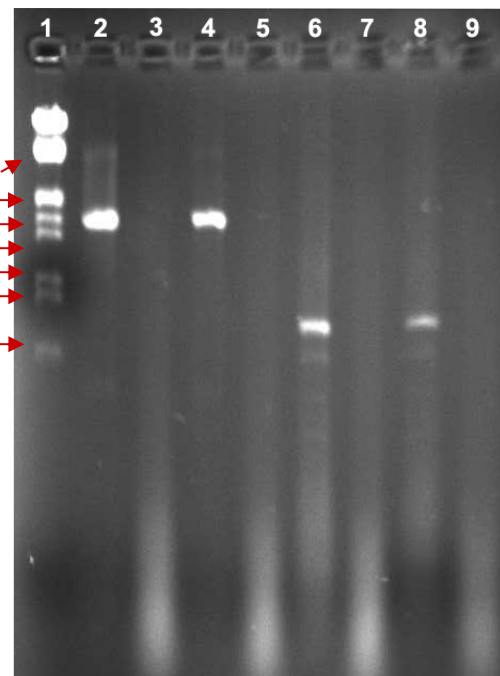
شکل ۱- علائم ایجاد شده توسط جدایه‌های ایرانی CaMV روی شلغم، کلم‌قمری و داتوره

Fig. 1 (A-L). Symptoms caused by Iranian isolates of CaMV on turnip, kohlrabi and jimpson weed



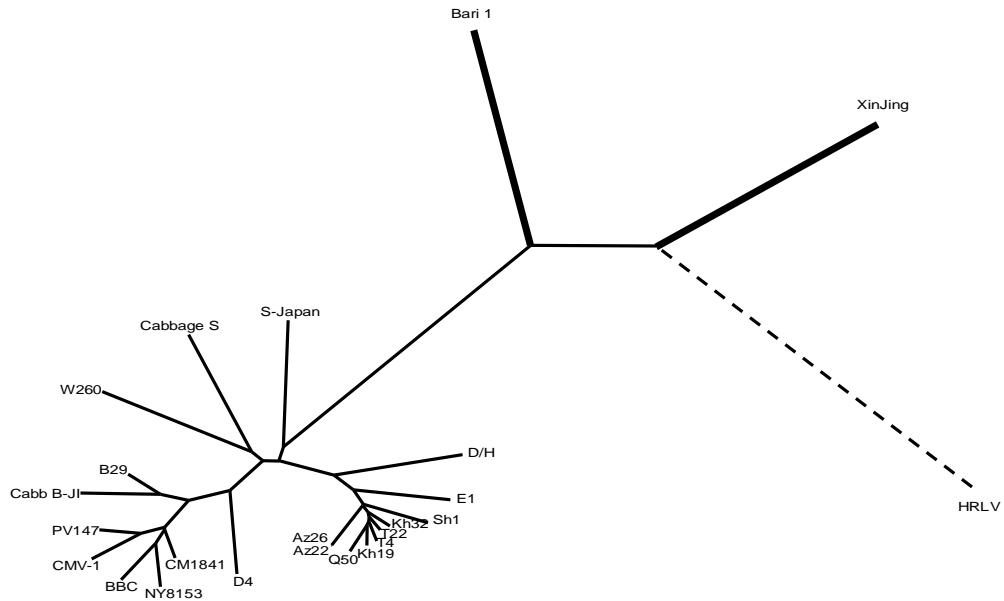
- A: Large chlorotic local lesions (3-4 mm) in turnip
 - B: Small chlorotic local lesions (1-2 mm) in turnip
 - C: Vein clearing (distinct) in turnip
 - D: Vein clearing (mild) in turnip
 - E: Vein banding (wide) in turnip
 - F: Vein banding (normal) in turnip
 - G: Vein banding (fine) in turnip
 - H: Chlorotic local lesion (diffuse) in kohlrabi
 - I: Vein clearing (mild) in kohlrabi
 - J: Vein banding (fine) in kohlrabi
 - K: Vein banding in jimpson-weed
 - L: Necrotic local lesion in jimpson-weed
- ا: لکه‌های موضعی سبز رد بزرگ (۳ تا ۴ میلی‌متر) در شلغم
 - ب: لکه‌های موضعی سبز رد کوچک (۱ تا ۲ میلی‌متر) در شلغم
 - ج: رگ‌روشنی مشخص در شلغم
 - د: رگ‌روشنی خفیف در شلغم
 - ه: رگ‌نواری پهن در شلغم
 - ب: رگ‌نواری متوسط در شلغم
 - ج: رگ‌نواری خفیف در شلغم
 - ا: لکه موضعی پخش شده در کلم‌قمری
 - ب: رگ‌روشنی خفیف در کلم‌قمری
 - ج: رگ‌نواری خفیف در کلم‌قمری
 - د: رگ‌نواری در داتوره
 - ه: لکه موضعی نکروتیک در داتوره

شیرین فرزادفر، غلامحسین مصاحبی، علی آهونمنش، مینا کوهی حبیبی، کازوساتو اوشیما، رضا پوررحیم و علیرضا گلنراحتی



شکل ۲- نقوش الکتروفورزی محصول PCR مربوط به ORF II و ORF VI دو جدایه ایرانی Ca-CQ50 و Ca-CKh19 با استفاده از آغازگرهای اختصاصی. ستون شماره ۱، مارکر مولکولی (Lambda DNA/EcoRI+HindIII Marker 3, Fermentas, Lithuania)؛ ستون های شماره ۲ و ۴، محصول ORF VI (ستون های ۶ و ۸ محصول ORF II و ستون های ۳، ۵، ۷ و ۹، شاهد سالم).

Fig. 2- Agarose gel electrophoresis of PCR products representing ORF VI and ORF II of two Iranian CaMV isolates using specific primers. Lane 1, DNA marker (Lambda DNA/EcoRI+HindIII Marker 3, Fermentas, Lithuania); Lanes 2 and 4, PCR product of ORF VI; Lanes 6 and 8, PCR product of ORF II, and Lanes 3, 5, 7 and 9, healthy plant preparation.



شکل ۳- درخت تبارزایی رسم شده توسط برنامه CLUSTAL W برای ژن شماره شش CaMV که به منظور نمایش بهتر وضعیت قرار گرفتن جدایه‌ها نسبت به یکدیگر، بصورت بدون ریشه (unrooted) نشان داده شده است. طول بعضی از شاخه‌ها (خطوط ضخیم و خط چین) نسبت به سایر خطوط، به نصف کاهش یافته است.

Fig. 3- Unrooted phylogenetic tree constructed by CLUSTAL W program for CaMV ORF VI. Lengths of some branches (thick and dashed lines) in ORF VI are reduced to half relative to other lines.

شیرین فرزادفر، غلامحسین مصاحبی، علی آهونمنش، مینا کوهی حبیبی، کازوساتو اوشیما، رضا پوررحم و علیرضا گلنراحتی



شکل ۴- نقشه تحدید (restriction map) حاصل از هضم آنزیمی قطعه ORF VI مربوط به جدایه ایرانی Ca-CQ50 با استفاده از آنزیم برشی *Hpy99I*. ستون یک: قطعه ORF VI بدون هضم؛ ستون دو، نشانگر مولکولی *GeneRuler™ 100bp DNA Ladder Plus, Farmentas, Lithuania*؛ ستون ۳، محصول هضم آنزیمی ORF VI توسط آنزیم برشی *Hpy 99I* که منجر به تشکیل چهار قطعه می‌گردد.

Fig. 4- Restriction map of ORF VI which digested by *Hpy 99I*. Lane 1: ORF VI without digestion; Lane 2: *GeneRuler™ 100bp DNA Ladder Plus, Farmentas, Lithuania*; Lane 3: Digested PCR product of ORF VI of Ca-CQ50 with restriction enzyme (*Hpy99I*).

جدول ۱- وقوع و پراکنش ویروس موزائیک کلم گل در گیاهان کلم گل موجود در شش استان کشور^a

Table 1- Occurrence and distribution of *Cauliflower mosaic virus* in cauliflower crops in six provinces of Iran^a

استان، میزبان Province, host	تعداد مزارع بازدید شده No. fields visited	تعداد نمونهای جمع آوری شده No. sample collected	تعداد مزارع آلوده No. fields infected	نمونهای مثبت Positive samples			
				تعداد No.	درصد %		
Azarbayan-e-gharbi	3	20	3	20	100 ^b		
Esfahan	5	30	5	27	90.0 (66.7-100) ^c		
Fars	5	60	5	53	88.3 (66.7-100)		
Khorasan	2	13	2	13	100		
Qazvin	5	80	5	80	100		
Tehran	12	120	12	99	82.5 (63.6-100)		
Total	32	323	32	292	90.04 (63.6-100)		

Identification based on ELISA

^a تعیین آلودگی بر اساس آزمون الیزا

Average of virus infection rate in symptomatic samples

^b میانگین آلودگی ویروسی در نمونهای علائمدار

Percent of virus infection in symptomatic samples

^c درصد آلودگی ویروسی در نمونهای علائمدار

جدول ۲- واکنش جدایه‌های ایرانی CaMV روی گیاه شلغم

Table 2- Reactions of Iranian Isolates of CaMV on turnip plants

جدایه Isolate	استان/شهر Province/City	شلغم Turnip									
		LL		Tim		VC		VB		LS	
Ca-CAz22	Azarbayan-e-Gharbi (Orumiye)	5/5 ^a	3	5/5	2	5/5	2	5/5	3	5/5	3
Ca-CAz26	Azarbayan-e-Gharbi (Orumiye)	6/6	3	6/6	3	6/6	3	6/6	2	6/6	3
Ca-CAz20	Azarbayan-e-Gharbi (Orumiye)	6/6	3	6/6	3	6/6	3	6/6	2	6/6	3
Ca-CE1	Esfahan (Falavarjan)	4/4	3	4/4	3	4/4	1	4/4	1	4/4	2
Ca-CE79	Esfahan (Hassan-Abad)	5/5	1	5/5	2	5/5	1	5/5	1	5/5	2
Ca-CKh19	Khorasan (Mashhad)	5/5	1	5/5	2	5/5	1	5/5	1	5/5	2
Ca-CKh32	Khorasan (Neishabour)	6/6	1	6/6	2	6/6	1	6/6	1	6/6	2
Ca-CKh64	Khorasan (Neishabour)	6/6	1	6/6	3	6/6	1	6/6	1	6/6	4
Ca-CSh1	Fars (Shiraz)	6/6	1	6/6	2	6/6	2	6/6	2	6/6	2
Ca-CSh216	Fars (Shiraz)	6/6	3	6/6	3	6/6	2	6/6	3	6/6	3
Ca-CQ50	Qazvin (Boin-Zahra)	6/6	3	6/6	2	6/6	2	6/6	2	6/6	3
Ca-CT4	Tehran (Shahr-e-Ray)	6/6	3	6/6	3	6/6	2	6/6	2	6/6	2
Ca-CT22	Tehran (Shahr-e-Ray)	6/6	1	6/6	2	6/6	1	6/6	1	6/6	2
Ca-CV98	Tehran (Varamin)	6/6	3	6/6	3	6/6	2	6/6	2	6/6	2
Ca-CK66	Tehran (Karaj)	5/5	1	5/5	3	5/5	1	5/5	1	5/5	2
Ca-CK75	Tehran (Karaj)	6/6	1	6/6	3	6/6	1	6/6	1	6/6	3
Ca-CK52	Tehran (Karaj)	5/5	1	5/5	3	5/5	1	5/5	1	5/5	2
Ca-CM115	Tehran (Karaj-Mahdasht)	6/6	1	6/6	2	6/6	1	6/6	1	6/6	3
Ca-CKa2	Tehran (Karaj-Kamalshar)	6/6	1	6/6	3	6/6	1	6/6	1	6/6	2
Ca-CVa5	Tehran (Vavan)	5/5	3	5/5	2	5/5	1	5/5	1	5/5	3
Ca-CM01	Tehran (Karaj-Mohamadshar)	6/6	3	6/6	3	6/6	2	6/6	3	6/6	2

LL (*Local lesion*): 1) large and distinct; 2) large and diffuse; 3) small; LS (*Leaf stunting*): 1) very severe; 2) severe; 3) mild; 4) very mild.

Tim (*Symptom timing*: local lesions, systemic symptoms, respectively): 1) 5-7 days post-inoculation (dpi), 10-12 dpi; 2) 7-10 dpi, 12-15 dpi;

3) > 10 dpi, 15-20 dpi.; VB (*Vein banding*): 1) wide; 2) normal; 3) fine. VC (*Vein clearing*): 1) distinct; 2) mild; 3) very mild;. Wr (*Leaf deformation*): 1) leaf wrinkling; 2) rugosity; 3) flat; 4) leaf cupping. *a*: Number of symptom showing plants / Number of inoculated plants.

جدول ۳- واکنش جدایه‌های ایرانی CaMV روی دو میزبان کلم قمری و داتوره

Table 3- Reactions of Iranian Isolates of CaMV on kohlrabi and datura plants

جدایه Isolate	استان/شهر Province/City	کلم قمری Kohlrabi						داتوره Datura					
		LL		Tim		VC		VB		LL		Tim	
Ca-CAz22	Azarbayan-e-Gharbi (Orumiyeh)	0/4 ^a	-	0/4	-	0/4	-	0/4	-	0/4	-	0/4	-
Ca-CAz26	Azarbayan-e-Gharbi (Orumiyeh)	0/5	-	0/5	-	0/5	-	0/5	-	0/4	-	0/4	-
Ca-CAz20	Azarbayan-e-Gharbi (Orumiyeh)	5/5	2	5/5	3	0/5	-	0/5	-	0/4	-	0/4	-
Ca-CE1	Esfahan (Falavarjan)	5/5	2	5/5	3	5/5	1	5/5	1	0/5	-	0/5	-
Ca-CE79	Esfahan (Hassan-Abad)	4/4	2	4/4	3	0/4	-	0/4	-	0/4	-	0/4	-
Ca-CKh19	Khorasan (Mashhad)	4/4	2	4/4	3	0/4	-	0/4	-	0/4	-	0/4	-
Ca-CKh32	Khorasan (Neishabour)	0/5	-	0/5	-	0/5	-	0/5	-	4/4	1	4/4	3
Ca-CKh64	Khorasan (Neishabour)	0/5	-	5/5	2	5/5	3	0/5	-	0/4	-	0/4	-
Ca-CSh1	Fars (Shiraz)	6/6	2	0/6	-	0/6	-	0/6	-	4/4	1	4/4	3
Ca-CSh216	Fars (Shiraz)	0/5	-	0/5	-	0/5	-	0/5	-	0/4	-	0/4	-
Ca-CQ50	Qazvin (Boin-Zahra)	5/5	2	5/5	3	5/5	1	5/5	1	4/4	1	4/4	3
Ca-CT4	Tehran (Shahr-e-Ray)	0/4	-	0/4	-	0/4	-	0/4	-	0/4	-	0/4	-
Ca-CT22	Tehran (Shahr-e-Ray)	0/5	-	0/5	-	0/5	-	0/5	-	4/4	1	4/4	3
Ca-CV98	Tehran (Varamin)	0/5	-	5/5	3	5/5	3	5/5	3	0/4	-	0/4	-
Ca-CK66	Tehran (Karaj)	0/5	-	0/5	-	0/5	-	0/5	-	4/4	1	4/4	3
Ca-CK75	Tehran (Karaj)	0/5	-	5/5	3	5/5	3	5/5	3	5/5	1	5/5	3
Ca-CK52	Tehran (Karaj)	0/5	-	5/5	3	5/5	1	5/5	1	4/4	1	4/4	3
Ca-CM115	Tehran (Karaj-Mahdasht)	5/5	2	5/5	3	0/5	-	0/5	-	4/4	1	4/4	2
Ca-CKa2	Tehran (Karaj-Kamalshar)	5/5	2	5/5	3	5/5	3	5/5	3	4/4	1	4/4	3
Ca-CVa5	Tehran (Vavan)	0/4	-	4/4	2	4/4	2	4/4	3	4/4	1	4/4	3
Ca-CMo1	Tehran (Karaj-Mohamadshar)	5/5	2	5/5	3	5/5	3	0/5	-	4/4	1	4/4	3

LL (*Local lesion*): 1- large and distinct; 2- large and diffuse; 3- small; Tim (*Symptom timing*: local lesions, systemic symptoms, respectively): 1) 5-7 days post-inoculation (dpi), 10-12 dpi; 2) 7-10 dpi, 12-15 dpi; 3) > 10 dpi, 15-20 dpi.; VC (*Vein clearing*): 1- distinct; 2- mild; 3- very mild; VB (*Vein banding*): 1- wide; 2- normal; 3- fine. a: Number of symptom showing plants / Number of inoculated plants.

جدول ۴- علائم جداپهای ایرانی انتخاب شده برای تعیین تردادف ژن شماره شش و رس شمار آنها

Table 4- Symptoms of selected Iranian Isolates for sequencing of ORF VI and their accession numbers.

جداپه Isolate	استان Province	علائم مزرعه‌ای Field symptoms	رس شمار Accession No.
Ca-CAz22	Azarbayan-e-gharbi	Vein banding, mottling , leaf deformation	DQ870907
Ca-CAz26	Azarbayan-e-gharbi	Vein banding, mottling, leaf deformation	DQ870908
Ca-CE1	Esfahan	Vein clearing, vein banding, mosaic, rugosity, stunting	DQ119041
Ca-CKh19	Khorasan	Vein clearing, vein banding, rugosity, stunting, yellowing	DQ870910
Ca-Kh32	Khorasan	Vein clearing, vein banding, rugosity, stunting	EF503597
Ca-CSh1	Fars	Vein clearing, vein banding, rugosity, stunting, necrosis	DQ119040
Ca-CT4	Tehran	Vein clearing, mottling, vein banding, rugosity, stunting, necrosis, leaf deformation	DQ870912
Ca-CT22	Tehran	Vein clearing, vein banding, rugosity, stunting, necrosis, leaf deformation	DQ870915
Ca-CQ50	Qazvin	Vein clearing, vein banding, rugosity, stunting, necrosis, leaf deformation	DQ870914

بازماندن از رشد: stunting; چین خوردگی: vein deformation; بندگی: vein banding; پیسک: mottling; نکروز: necrosis; بندگی موزائیک: mosaic; زردی: yellowing; رگ‌نوواری: rugosity.

جدول ۵- مقایسه قطعات حاصل از RFLP جدایه‌های ایرانی CaMV با جدایه‌های دیگر نقاط جهان و گروه‌بندی آنها که با استفاده از آنزیم *Hpy99I* و به کمک برنامه Mapdraw بدست آمده است.

Table 5- Comparison of Iranian *Cauliflower mosaic virus* (CaMV) isolates with others from different countries on the basis of restriction fragment length polymorphism (RFLP) pattern using *Hpy99I* in Mapdraw program.

گروه <i>Hpy99I RFLP group</i>	جدایه‌ها <i>Isolates</i>	محل برش (از ابتدای قطعه) <i>Restriction site (nt)</i>	تعداد قطعات <i>No. of segments</i>	اندازه قطعات <i>Size of segments (bp)</i>
I	B29, BBC, CM1841, CMV-1, D-4, NY8153, W260	771	2	771-775
II	Bari 1	411, 777, 783	4	411, 363, 6, 745
III	Cabb B-JI	0	0	1525
IV	Cabbage S	408, 771	3	408, 363, 754
V	D/H	771, 1458	3	771, 687, 73
VI	S-Japan	408, 771	3	408, 363, 760
VII	XinJing	1242	2	1242, 292
VIII	Ca-CAz22, Ca-CAz26, Ca-CE1, Ca-CKh19, Ca-CKh32, Ca-CQ50, Ca-CSh1, Ca-CT4, Ca-CT22	408, 771, 1458	4	408, 363, 687, 73

شیرین فرزادفر، غلامحسین مصاحبی، علی آهونمنش، مینا کوهی حبیبی، کازوساتو اوشیما، رضا پوررحمی و علیرضا گلنراحتی

ویروس موزائیک کلم‌گل علاوه بر کلم‌گل، از سایر گیاهان زراعی این تیره نیز گزارش شده است (Farzadfar *et al.*, 2005; Shahraeen *et al.*, 2003). گیاه کلزا در ایران بیشتر بصورت پاییزه کشت شده و در اواخر بهار تا اوایل تابستان برداشت می‌شود. در سال‌های اخیر توجه خاصی به این محصول شده و سطح کشت آن از ۲۰۰ هکتار در سال ۱۳۶۸ به ۷۲۰۰۰ هکتار در سال ۱۳۸۲ افزایش یافته است (Anonymous, 2003). به نظر می‌رسد این تغییر الگوی کشت می‌تواند روی جمعیت شته‌ها و دینامیک فعالیت آن‌ها (Woodford, 1988) و متعاقباً روی میزان و گسترش آلودگی به ویروس اثر داشته باشد (Loenbenstein *et al.*, 2001).

در این مطالعه برای اولین بار، تنوع بیولوژیکی ۲۱ جدایه ایرانی CaMV با استفاده از سه میزبان شلغم، کلم قمری و داتوره مورد بررسی قرار گرفته است. این گیاهان با جدایه‌های مختلف جمع‌آوری شده از مناطق مختلف و با شدت علائم متفاوت مایه‌زنی شدند. علائم ایجاد شده توسط این جدایه‌ها روی سه میزبان مورد نظر با یکدیگر متفاوت بود. همچنین، علائم ایجاد شده در شلغم در مقایسه با دو میزبان دیگر شدیدتر بود. بررسی تنوع علائم ایجاد شده در شلغم نشان داد که جدایه‌های ایرانی CaMV مورد مطالعه، علائم نسبتاً مشابهی را تولید می‌نمایند. در تمامی آن‌ها علائم اولیه ایجاد شده با تولید لکه‌های موضعی آغاز گردید. بر اساس اندازه لکه‌های موضعی، این جدایه‌ها به دو گروه جدایه‌های با لکه‌های بزرگ (۳ تا ۴ میلی‌متر) و گروه لکه‌های کوچک (۱ تا ۲ میلی‌متر) تقسیم می‌شوند. این در حالی است که در تمامی جدایه‌های مورد بررسی توسط (Al-Kaff & Covey, 1995) نوع لکه‌های ایجاد شده فقط از نوع بزرگ و مشخص بوده است. مطالعه علائم سیستمیک نشان داد که جدایه‌های ایرانی علائم سیستمیک مشابهی روی شلغم ایجاد می‌نمایند. اگرچه شدت این علائم با یکدیگر متفاوت است، ولی بر اساس علائم سیستمیک نمی‌توان گروه‌بندی مشخصی را روی این جدایه‌ها انجام داد (Al-Kaff & Covey, 1995).

در جدایه‌هایی که گیاه کلم قمری را آلوده نمودند، ابتدا لکه‌های موضعی تولید شد، ولی این لکه‌ها برخلاف شلغم از نوع بزرگ و پخش بود. توسعه بعدی علائم با رگ‌روشنی، موزائیک و رگ‌نواری در برگ‌های مایه‌زنی شده همراه بود. پس از مدتی حالت بهبودی (recovery) دیده شده و علائم تولیدی فقط به برگ‌های مایه‌زنی شده محدود گردید که با نتایج

پراکنش و برخی خصوصیات بیولوژیکی و مولکولی جدایه‌های ویروس موزائیک کلم‌گل از مزارع کلم‌گل ایران

قبلی ارائه شده روی این میزبان مطابقت دارد (Al-Kaff & Covey, 1995). اخیراً بررسی‌های انجام گرفته نشان داده است که این بهبودی احتمالاً ناشی از مکانیسم خاموشی ژن پس از ترجمه (post-transcriptional gene silencing) و یا ناشی از خاموشی ژن در سطح نسخه‌برداری (transcriptional gene silencing) می‌باشد (Haas *et al.*, 2002). بر اساس علائم روی کلم‌قمری، جدایه‌های ایرانی را می‌توان به سه گروه تقسیم نمود. گروه اول، جدایه‌هایی که علائم لکه موضعی و به دنبال آن علائم سیستمیک ایجاد می‌نمایند. گروه دوم، جدایه‌هایی که فقط لکه موضعی تولید نمودند و گروه آخر که روی این میزبان هیچ علائمی تولید نکردند. برای تعیین جدایه‌های آلدود کننده گیاهان تیره سیب‌زمینی از *D. stramonium* استفاده شد. نتایج حاصله در مورد ۲۱ جدایه نشان داد که تنها دو جدایه Ca-CK50 و Ca-CQ50 روی این میزبان، سیستمیک شده و در مورد سایر جدایه‌ها یا علائمی ایجاد نگردید و یا لکه‌های موضعی نکروزه بزرگ و مشخص تولید شد که با نتایج مطالعات قبلی مطابقت دارد (Qiu & Schoelz, 1992; Schoelz & Shepherd, 1988; Schoelz *et al.*, 1986; Garcia & Shepherd, 1985; Lung & Pirone, 1972). همه جدایه‌ها با شته *M. persicae* قابل انتقال بودند. نتایج حاصل از تعیین ترادف ژن شماره دو مربوط به نه جدایه بررسی شده نیز قابلیت انتقال با شته را مورد تأیید قرار داد (Al-Kaff & Covey, 1994; Al-Kaff *et al.*, 1997).

در این تحقیق برای اولین بار، ترادف نوکلئوتیدی ORF VI در جدایه‌های ایرانی تعیین شده و با دیگر ترادف‌های ORF VI موجود در بانک ژن مورد مقایسه قرار گرفتند. بررسی خصوصیات بیولوژیکی و دامنه میزبانی نشان داد که جدایه‌های ایرانی CaMV بر اساس آلدودگی گیاهان تیره کلم و سیب‌زمینی به دو گروه تقسیم می‌شوند. با این حال نتایج حاصله از مطالعه بیولوژیکی، با اطلاعات بدست آمده از مقایسه ترادف ORF VI در این جدایه‌ها مطابقت نداشت. این مطلب می‌تواند ناشی از دخالت سایر نواحی ژنی (از جمله ژن‌های شماره یک و چهار) در بیماریزایی ویروس موزائیک کلم‌گل باشد (Covey, 1991). این نتایج گزارش‌های قبلی ارائه شده را تأیید می‌نماید (Pique *et al.*, 1993; Wintermantel *et al.*, 1995). همچنین در این مطالعه، گروه‌بندی جدایه‌های ایرانی بر اساس واکنش آن‌ها روی سه میزبان شلغم، کلم‌قمری یا داتوره با نتایج گروه‌بندی آن‌ها بر مبنای ORF VI یکسان نبود. مطالعات تبارزایی و

شیرین فرزادفر، غلامحسین مصاحبی، علی آهونمنش، مینا کوهی حبیبی، کازوساتو اوشیما، رضا پوررحم و علیرضا گلنراحتی

گروه‌بندی جدایه‌های ایرانی و خارجی CaMV با گروه‌بندی آن‌ها بر اساس نوع میزبان طبیعی یا قابلیت انتقال با شته نیز مطابقت نداشت که مشابه گزارش‌های ارائه شده قبلی در مورد این ویروس است (Chenault & Melcher, 1994b).

به نظر می‌رسد توزیع جغرافیایی منابع آلوده به CaMV، مهم‌ترین عامل در تکامل این ویروس بوده و به این ترتیب جدایه‌های CaMV به دو گروه اصلی آمریکای شمالی (North-American) و غیر آمریکای شمالی (non-North-American) تقسیم شده‌اند (Chenault & Melcher 1994b). تنها استثناء مربوط به جدایه B29 از فرانسه بود که در گروه آمریکای شمالی قرار گرفت. بر اساس این گروه‌بندی، جدایه‌های ایرانی CaMV در گروه غیر آمریکای شمالی قرار گرفته و یک زیرگروه مستقل را تشکیل می‌دهند. بررسی هضم آنزیمی ORF VI با نیز *Hpy99I* با اطلاعات بدست آمده از تجزیه تبارزایی ORF VI مطابقت داشت. از آنجا که این ویروس از طریق بذر یا دانه گرده منتقل نمی‌شود، به نظر می‌رسد که ویروس موزائیک کلم‌گل اولین بار از طریق مواد گیاهی آلوده به ایران وارد شده و پس از استقرار بطور مستقل تکامل یافته است. البته اثبات این نظریه به مطالعه بیشتری نیاز دارد.

سپاسگزاری

این مقاله بخشی از پایان‌نامه دوره دکتری نویسنده اول می‌باشد. بدین وسیله از زحمات گروه گیاهپژوهی پردیس کشاورزی و منابع طبیعی، دانشگاه تهران و بخش تحقیقات ویروس‌های گیاهی مؤسسه تحقیقات گیاهپژوهی کشور تشکر می‌گردد. همچنین از دکتر U. Melcher برای طراحی آغازگر و نیز ارسال مقالات تشکر می‌شود. از سرکار خانم مهندس سپیده ساجدی (بخش رستنی‌ها، مؤسسه تحقیقات گیاهپژوهی) که در شناسایی نمونه‌های علف‌هرز کروسیفر همکاری داشته‌اند، قدردانی می‌گردد.

نشانی نگارنده‌گان: دکتر شیرین فرزادفر، دکتر غلامحسین مصاحبی و دکتر مینا کوهی حبیبی، گروه گیاهپژوهی، دانشکده کشاورزی، دانشگاه تهران؛ دکتر علی آهونمنش،

پرائشن و برخی خصوصیات بیولوژیکی و مولکولی جدایه‌های ویروس موزائیک کلم‌گل از مزارع کلم‌گل ایران

گروه گیاهپزشکی، دانشکده کشاورزی، دانشگاه صنعتی اصفهان؛ دکتر کازوساتو اوشیما، آزمایشگاه ویروس شناسی گیاهی، دانشکده کشاورزی، دانشگاه ساگا، ژاپن؛ دکتر رضا پوررحیم بخش تحقیقات ویروس‌های گیاهی، مؤسسه تحقیقات گیاهپزشکی کشور؛ مهندس علی‌رضا گلنراحتی گروه گیاهپزشکی، دانشگاه آزاد اسلامی، واحد علوم و تحقیقات تهران.